



# Albarossa

Carlomagno A., Ferrandino A., Ruffa P., Schneider A., Novello V. (2014) - Albarossa . In: Italian Vitis Database, www.vitisdb.it, ISSN 2282-006X  
 release 13/07/2015, ultimo aggiorn. 04/09/2015 url <http://vitisdb.it/accessions/show/15921>

## Informazioni gestite da

Dipartimento di Scienze Agrarie, Forestali e Alimentari - Università degli Studi di Torino

## Ringraziamenti

Ager IVD; CNR - IVV di Grugliasco (TO)

## Informazioni generali

**nome** Albarossa  
**codice** ITA424-608GC  
**nazione di selezione** Italia  
**regione di selezione** non disponibile  
**provincia di selezione** non disponibile  
**località di selezione** non disponibile  
**istituzione custode** Dipartimento di Scienze Agrarie, Forestali e Alimentari - Università degli Studi di Torino  
**collezione** Campo collezione di Grinzane (CN)

## Varietà & clone

**tipo di origine** incrocio intraspecifico  
**genere** Vitis  
**specie** Vitis vinifera  
**sub specie** sativa  
**varietà** Albarossa  
**codice della varietà** IVD-var\_281  
**clone** non disponibile  
**trueness to type** accertato con rilievi morfologici e microsatelliti

## Trueness to type

### True-name

confermato **si**

### ►bibliografia correlata (1)

autori	anno	titolo	rivista	citazione
Bovio M., Eynard I.	1989	Albarossa	Principali vitigni da vino coltivati in Italia - Nuova serie, Vol. I, ISV di Conegliano Veneto- Ministero dell'Agricoltura e delle Foreste, 1989	Albarossa di N. Bovio ed I. Eynard da "Albarossa", in Principali vitigni da vino coltivati in Italia - Nuova serie, Vol. I, ISV di Conegliano Veneto- Ministero dell'Agricoltura e delle Foreste, 1989

### Trueness to type accertato con rilievi morfologici (ampelografici)

accertamento con rilievi morfologici (ampelografici) **accertato**

### ►bibliografia correlata (1)

autori	anno	titolo	rivista	citazione
Bovio M., Eynard I.	1989	Albarossa	Principali vitigni da vino coltivati in Italia - Nuova serie, Vol. I, ISV di Conegliano Veneto- Ministero dell'Agricoltura e delle Foreste, 1989	Albarossa di N. Bovio ed I. Eynard da "Albarossa", in Principali vitigni da vino coltivati in Italia - Nuova serie, Vol. I, ISV di Conegliano Veneto- Ministero dell'Agricoltura e delle Foreste, 1989

### Trueness to type accertato con microsatelliti

accertamento con microsatelliti **accertato**

### ►bibliografia correlata (1)

autori	anno	titolo	rivista	citazione
Torello Marinoni D., Raimondi S., Rolle L. and Mannini F.	2009	Genetic and phenolic characterization of several intraspecific crosses (Vitis vinifera L.) registered in the Italian National Catalogue	Acta Horticulturæ	Proc. IX Intl. Conf. on grape Genetics and Breeding. 827: 485-492

loci confrontati **12**

loci identici **12**

discrepanze

n.d.

**Profilo microsatellite standardizzato**

loci:	loci predefiniti ( 9 )																	
locus SSR:	VVS2		VVMD5		VVMD7		VVMD27		VrZAG62		VrZAG79		VVMD25		VVMD28		VVMD32	
allele:	A1	A2	A1	A2	A1	A2	A1	A2	A1	A2	A1	A2	A1	A2	A1	A2	A1	A2
dimensione:	133	137	225	227	239	249	189	195	194	200	251	259	240	242	239	263	273	273

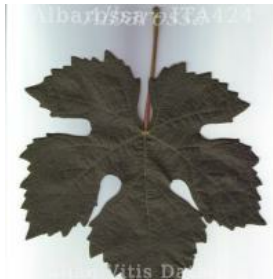
**Immagini**



germoglio



foglia



foglia pagina superiore



foglia pagina inferiore



grappolo



acino

## Ampelografia

OIV	descrizione	valore		immagini
004	Giovane germoglio: densità dei peli striscianti dell'apice	5 / 7	media / elevata	
007	Germoglio: colore del lato dorsale degli internodi	1 / 2	verde / verde e rosso	
008	Germoglio: colore del lato ventrale degli internodi	1	verde	
016	Germoglio: numero di viticci consecutivi	1	2 o meno	
051	Foglia giovane: colore della pagina superiore del lembo (4 a foglia)	1 / 2	verde / giallo	
053	Foglia giovane: densità peli striscianti tra le nervature principali della pagina inferiore (4a foglia)	5 / 7	media / elevata	
067	Foglia adulta: forma del lembo	3	pentagonale	
068	Foglia adulta: numero dei lobi	3	cinque	
070	Foglia adulta: distribuzione pigmentazione antocianica nervature principali pagina superiore	1	assente	
075	Foglia adulta: bollosità della pagina superiore del lembo	3	bassa	
079	Foglia adulta: grado di apertura / sovrapposizione dei bordi del seno peziolare	5 / 7	chiuso / sovrapposto	
080	Foglia adulta: forma della base del seno peziolare	1	a U	
081-1	Foglia adulta: denti del seno peziolare	1	assenti	
081-2	Foglia adulta: base del seno peziolare delimitata dalla nervatura	1	non delimitata	
083-2	Foglia adulta: denti nei seni laterali superiori	1 / 9	assenti / presenti	
084	Foglia adulta: densità dei peli striscianti tra le nervature principali sulla pagina inferiore del lembo	1	nulla o molto bassa	
087	Foglia adulta: densità dei peli eretti sulle nervature principali della pagina inferiore del lembo	5	media	
151	Fiore: organi sessuali	3	stami completamente sviluppati e gineceo completamente sviluppato	
155	Tralcio: fertilità delle gemme basali (gemme 1-3)	1	molto bassa (<0,5)	
202	Grappolo: lunghezza (escluso il peduncolo)	3 / 5	corto / medio	
204	Grappolo: compattezza	5 / 7	medio / compatto	
208	Grappolo: forma	2	conico	
220	Acino: lunghezza	5	medio	
221	Acino: larghezza	3	stretto	
223	Acino: forma	3	ellissoidale largo	
225	Acino: colore della buccia	6	blu nero	
236	Acino: particolarità dell'aroma	1	nessuna	
241	Acino: sviluppo dei vinaccioli	3	completo	

## Ampelometria



foglia ampelometrica

## OIV

nessun descrittore presente per Albarossa

## Superampelo

descrittore	distanze	
	valore	deviazione standard
Lunghezza del picciolo	100.860	10.010
Lunghezza della foglia compreso il picciolo	232.390	8.240
Distanza tra gli estremi delle nervature N2 e N2'	174.390	20.200
Lunghezza della nervatura N1	131.530	7.000
Distanza tra gli estremi delle nervature N4 e N4'	66.620	11.620
Distanza tra gli estremi delle nervature N3 e N3'	171.400	15.310
Lunghezza della nervatura N2	115.220	9.140
Larghezza del seno peziolare / Distanza tra i punti SP e SP'	-16.090	4.850
Lunghezza della nervatura N3	87.460	8.960
Lunghezza della nervatura N2'	117.810	9.790
Lunghezza della nervatura N3'	88.790	9.450
Distanza tra estremità di N2 e estremità della prima ramificazione laterale di N2	60.130	12.950
Distanza tra estremità di N2' e estremità della prima ramificazione laterale di N2'	66.040	9.010
Distanza dal seno peziolare al seno inferiore destro	43.300	5.850
Distanza dal seno peziolare al seno inferiore sinistro	47.980	11.630
Distanza dal seno peziolare al seno superiore destro	46.020	10.710
Distanza dal seno peziolare al seno superiore sinistro	42.780	4.810
Nervatura N3, lunghezza dal seno peziolare alla nervatura N4	11.760	2.490
Nervatura N3', lunghezza dal seno peziolare alla nervatura N4'	12.510	1.970
Lunghezza della nervatura N5	23.650	2.950
Lunghezza della nervatura N5'	22.870	3.380
Lunghezza della nervatura N4	54.690	3.840
Lunghezza della nervatura N4'	54.270	5.930
Larghezza della foglia	178.420	16.010
Lunghezza della foglia	188.970	12.240

angoli		
descrittore	valore	deviazione standard
Angolo tra N1 e N2 misurato alla prima biforcazione	58.910	4.020
Angolo tra N2 e N3 misurato alla prima biforcazione	56.260	3.930
Angolo tra N1 e N2' misurato alla prima biforcazione	60.150	3.760
Angolo tra N3 e N4 alla prima biforcazione di N3	56.270	4.560
Angolo tra N2' e N3' misurato alla prima biforcazione	54.980	6.390
Angolo tra N1 e N2 misurato agli estremi delle nervature	47.220	5.580
Angolo tra N3' e N4'	52.840	2.820
Angolo tra N2 e N3 misurato agli estremi delle nervature	53.230	8.350
Angolo tra N1 e N2' misurato agli estremi delle nervature	49.570	2.710
Angolo tra N3 e N4 misurato agli estremi delle nervature	47.730	4.850
Angolo tra N2' e N3' misurato agli estremi delle nervature	55.270	6.230
Angolo di apertura del seno peziolare misurato a SP e SP'	34.590	10.780
Angolo tra N3' e N4' misurato agli estremi delle nervature	44.310	3.180
Angolo tra S e S' con centro in N1	28.510	5.680
Angolo tra D e D' con centro in N1	97.670	6.670
Angolo tra I e I' con centro in N1	37.880	5.310

rapporti		
descrittore	valore	deviazione standard
Rapporto tra Lunghezza e larghezza della foglia	1.060	0.060
Rapporto tra la somma degli angoli a' + b' e la somma della distanza tra il seno peziolare e il seno superiore sinistro OS' e il seno peziolare e il seno inferiore sinistro OI'	0.020	0.000
Rapporto tra la somma degli angoli a + b e la somma della distanza tra il seno peziolare e il seno superiore destro OS e il seno peziolare e il seno inferiore destro OI	0.020	0.000
Rapporto tra l'altezza e la base dei denti del lato sinistro	0.650	0.080
Rapporto tra l'altezza e la base dei denti del lato destro	0.640	0.080
Rapporto tra l'altezza e la base del dente all'estremità della nervatura N2'	13.040	2.220
Rapporto tra l'altezza e la base del dente all'estremità della nervatura N2	14.740	2.020
Rapporto tra l'altezza e la base del dente all'estremità della nervatura N4	8.290	0.980
Media della base dei denti del lato sinistro	9.650	1.590
Media della base dei denti del lato destro	9.620	1.050
Media dell'altezza dei denti del lato sinistro	6.260	1.350
Rapporto tra l'altezza e la base del dente all'estremità della nervatura N4'	7.290	0.980
Media dell'altezza dei denti del lato destro	6.200	1.140